

УДК 536.6; 536.42; 538.958

©1994

## ТВЕРДОФАЗНАЯ ХИМИЧЕСКАЯ РЕАКЦИЯ МЕЖДУ $\text{AgI}$ И $\text{HgI}_2$

*И.Х.Акопян, С.А.Соболева, Б.В.Новиков*

Экспериментально исследована твердофазная химическая реакция (ТФХР) между  $\text{AgI}$  и  $\text{HgI}_2$ . Результаты дополнены данными по реакции в системе  $\text{CuI}-\text{HgI}_2$ . Изучена температурная зависимость скорости реакции, определена энергия образования тройного соединения в ходе ТФХР. Исследованы особенности фазовых переходов в кристаллах-компонентах систем, образованных в результате ТФХР.

Изучению твердофазной химической реакции (ТФХР) между  $\text{AgI}$  и  $\text{HgI}_2$ , идущей с образованием тройного суперионного соединения  $\text{Ag}_2\text{HgI}_4$ , посвящены многочисленные теоретические и экспериментальные работы [1–6]. Основными экспериментальными методами исследования реакции являются рентгеновский дифракционный и электронно-зондовый анализ системы, образованной в результате реакции. В настоящей работе использованы методы дифференциальной сканирующей калориметрии и экситонной спектроскопии. Калориметрические методы являются признанными чувствительными методами определения фазового состава в системах, компоненты которых имеют в исследуемом температурном интервале фазовые переходы (ФП). Возможность же использования экситонной спектроскопии для контроля за появлением продукта реакции, его распределением в системе основана на том, что исходные кристаллы и образующиеся в результате исследуемых реакций соединения  $\text{Ag}_2\text{HgI}_4$  и  $\text{Cu}_2\text{HgI}_4$  характеризуются достаточно хорошо изученными экситонными спектрами, расположеннымими в различных спектральных областях [4,6]. Кроме того, поскольку вид спектров сильно зависит от несовершенств структуры, в частности от содержания собственных дефектов, анализ изменений спектров продукта реакции и исходных кристаллов в различных точках системы может дать также информацию о процессе диффузии.

Взаимодействующие соли применялись в виде монокристаллов (подробности приведения монокристаллов в контакт даны в [4,6]) и поликристаллических порошков. Калориметрические измерения проводились на калориметрах «Rigaku» и «Setaram».

### 1. Скорость реакции

Взаимодействие монокристаллов  $\text{AgI}$  ( $\text{CuI}$ ) и  $\text{HgI}_2$  с образованием  $\text{Ag}_2\text{HgI}_4$  ( $\text{Cu}_2\text{HgI}_4$ ) наблюдалось нами при всех температурах во всем изученном диапазоне 20–150°C. Скорость реакции сильно зависела от температуры. В температурной зависимости имелся скачок при

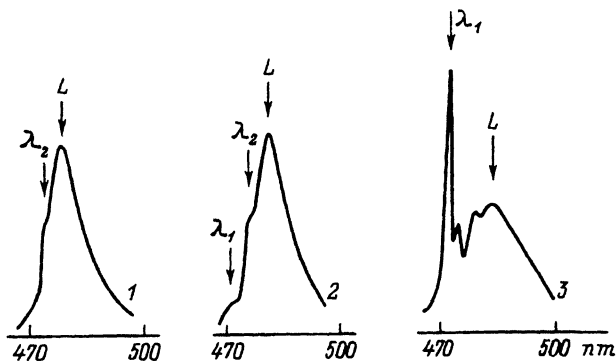


Рис. 1. Спектры люминесценции ( $T = 4.2$  К) кристаллов  $\text{Ag}_2\text{HgI}_4$ , образованных в ходе ТФХР.

Температура реакции  $30^\circ\text{C}$ , продолжительность реакции 24 часа (1), 12 суток (2) и 3 месяца (3).

$T = T_c$ , где  $T_c$  — температура суперионного ФП в кристалле-продукте реакции (в  $\text{Ag}_2\text{HgI}_4$   $T_c = 52^\circ\text{C}$ , в  $\text{Cu}_2\text{HgI}_4$   $T_c = 70^\circ\text{C}$ ). При  $T < T_c$  скорость реакции была такова, что после нескольких часов контакта исходных монокристаллов в системе регистрировалось образование тройного соединения (в спектрах отражения и люминесценции от плоскости кристалла  $\text{AgI}$  ( $\text{CuI}$ ), бывшей в контакте с двуиодистой ртутью, присутствовала экситонная структура тройного соединения), однако толщина слоя новой фазы, оцененная по спектрам поглощения, не превышала  $1 \mu\text{m}$ . Увеличение продолжительности реакции не увеличивало существенно толщины полученного слоя, лишь улучшало его структуру. Об этом говорит трансформация экситонных спектров (рис. 1) — они становились менее размытыми, приближаясь к спектрам монокристаллов  $\text{Ag}_2\text{HgI}_4$  из раствора.

При этих температурах ( $T < T_c$ ) и использованных нами временах реакции (до нескольких месяцев) продукт реакции остается фиксированным вблизи поверхности раздела кристаллов-реагентов. Дальнейший рост, очевидно, лимитируется медленной диффузией ионов через слой продукта реакции, образовавшегося в плоскости контакта. Существенного увеличения скорости реакции тогда следует ожидать при повышении температуры до  $T_c$  тройного соединения, когда более чем на два порядка увеличивается ионная проводимость его по серебру (меди) и резко возрастает коэффициент диффузии ртути [7] (напомним, что встречная диффузия этих ионов является механизмом реакции). Действительно, при нагревании системы выше  $T_c$  наблюдалось резкое ускорение реакции образования тройного соединения: в системе  $\text{AgI}-\text{HgI}_2$  при температурах, на несколько градусов превышающих температуру перехода  $\text{Ag}_2\text{HgI}_4$  в суперионную модификацию, скорость реакции оказывается по крайней мере на 3 порядка величины больше скорости при  $T = 40^\circ\text{C}$ .

Дальнейшее повышение температуры от  $T_c$  до температур, близких к температуре ФП в  $\text{HgI}_2$  ( $T_0 = 134^\circ\text{C}$ ), как показывают калориметрические данные по количеству образовавшегося тройного соединения в диффузионных системах и анализ их спектров люминесценции, сопровождается монотонным увеличением скорости реакции. По нашим

оценкам, при  $T = 100^\circ\text{C}$  она примерно в 7 раз больше скорости при  $T = 60^\circ\text{C}$ . При приближении к  $T_0 = 134^\circ\text{C}$  вновь наблюдается резкое ускорение образования иодомеркурата серебра. Последний результат согласуется с положением, что реакционная способность твердых тел проходит через максимум в температурной области структурных превращений. При  $T = 110^\circ\text{C}$  прогрев в течение нескольких минут находящихся в контакте монокристаллов  $\text{AgI}$  и  $\text{HgI}_2$  приводит к созданию монолитной гетеросистемы, при этом в области начальной границы выделяется отличающийся по цвету от исходных кристаллов (желтого иодистого серебра и красной двуиодистой ртути) оранжевый слой. С увеличением длительности реакции до нескольких часов вдоль кристалла  $\text{AgI}$  на несколько миллиметров от начальной границы контакта распространяется слабое окрашивание, вблизи границы остается ярко окрашенный слой. Результаты спектроскопического исследования образованных систем свидетельствуют о том, что яркий слой не совпадает со слоем  $\text{Ag}_2\text{HgI}_4$  однородного состава, не содержащим бинарных соединений, который оказывается смешенным относительно первого в сторону  $\text{AgI}$ . По обе стороны от него, как указывалось в [6,8], в системе образуются области сосуществования тройного соединения и исходных кристаллов. Там же дано распределение продукта реакции вдоль оси ионной диффузии в системе  $\text{AgI}-\text{Ag}_2\text{HgI}_4-\text{HgI}_2$ . Оранжевому слою соответствует двухфазная область из  $\text{Ag}_2\text{HgI}_4$  и  $\text{HgI}_2$ .

Установлено, что реакция между монокристаллами при всех изученных температурах идет быстрее в геометрии, соответствующей реакционной диффузии вдоль слоев  $\text{HgI}_2$ , т.е. перпендикулярно оси  $C_4$ .

Рост новой кристаллической фазы в системах  $\text{AgI}-\text{HgI}_2$  и  $\text{CuI}-\text{HgI}_2$ , независимо от кристаллографической ориентации исходных кристаллов при всех температурах наблюдался преимущественно в направлениях  $\text{AgI}$  и  $\text{CuI}$  от начальной границы раздела монокристаллов. На начальных стадиях реакции образование тройного суперионного соединения происходило только на стороне  $\text{AgI}(\text{CuI})$ . По другую сторону границы, как показывают оптические спектры отражения и люминесценции, в результате диффузии мы имели кристаллы  $\text{HgI}_2$  с большим количеством структурных дефектов. Далее в ходе реакции зона образования продукта реакции распространялась и на  $\text{HgI}_2$ , спектры отражения и люминесценции тройного соединения регистрировались уже по обе стороны от начальной границы раздела исходных кристаллов. Но максимально однородный слой образованных кристаллов всегда оставался смешенным в направлении  $\text{AgI}(\text{CuI})$ , а область смеси фаз исходных соединений и нового кристалла была с этой стороны много шире, чем со стороны  $\text{HgI}_2$ .

Наблюдаемые закономерности в направлении реакции можно понять, рассмотрев структуру реагирующих кристаллов и кристалла-продукта реакции. Начнем с системы  $\text{CuI}-\text{Cu}_2\text{HgI}_4-\text{HgI}_2$ . Как известно, эти соединения в интересующем нас температурном диапазоне имеют кубические ( $\gamma\text{-CuI}$ ,  $a = 6.09 \text{ \AA}$ ;  $\alpha\text{-Cu}_2\text{HgI}_4$ ,  $a = 6.14 \text{ \AA}$ ) и тетрагональную ( $\alpha\text{-HgI}_2$ ,  $a = 4.36 \text{ \AA}$ ,  $c = 12.45 \text{ \AA}$ ) структуры. Из-за близости структур  $\gamma\text{-CuI}$  и  $\alpha\text{-Cu}_2\text{HgI}_4$  естественно ожидать, что реакция образования новой кристаллической фазы легче происходит в матрице монокристалла иодида меди. В системе  $\text{AgI}-\text{Ag}_2\text{HgI}_4-\text{HgI}_2$  ситуация несколько сложнее. Основной стабильной низкотемпературной фазой  $\text{AgI}$  является гексагональная  $\beta$ -модификация ( $a = 4.59 \text{ \AA}$ ,  $c = 7.51 \text{ \AA}$ ). Однако

эта модификация при всех  $T < T_c = 147^\circ\text{C}$  может существовать с  $\gamma$ -AgI, параметры решетки которой (кубическая структура,  $a = 6.49 \text{ \AA}$ ) близки кубической  $\alpha$ -Ag<sub>2</sub>HgI<sub>4</sub> ( $a = 6.34 \text{ \AA}$ ). Содержание  $\gamma$ -AgI в образцах иодистого серебра зависит от многих факторов, оно легко меняется с температурой, давлением. Очевидно, способность решетки этого кристалла к взаимным ( $\beta \rightleftharpoons \gamma$ )-превращениям, существование нескольких политипов, характеризующихся различной степенью гексагональности, способствуют протеканию реакции образования Ag<sub>2</sub>HgI<sub>4</sub> в монокристалле AgI.

## 2. Теплота реакции

Из температурных зависимостей теплоемкости стехиометрических смесей порошков (AgI + HgI<sub>2</sub>) и (CuI + HgI<sub>2</sub>) мы определили теплоту реакции образования соответствующих тройных соединений в ходе ТФХР. Приготовленные при комнатных температурах смеси закладывались в стальные или стеклянные ампулы и подвергались термоциклированию в калориметре. Нагревание проводилось со скоростью 3 K/min. На рис. 2 кривые 1 и 2 соответствуют первому и второму нагреваниям смеси порошков CuI и HgI<sub>2</sub>. На кривых  $C_p(T)$  в процессе нагревания появляются эндотермические пики, соответствующие ФП образовавшегося тройного соединения ( $Q_1$  и  $Q_2$ ). При первом нагревании отклонение от базовой линии начинается при  $65^\circ\text{C}$ , затем следует максимум при  $\sim 70^\circ\text{C}$ , после которого при дальнейшем повышении температуры кривая не возвращается сразу к базовой линии, но медленно подходит к ней только при  $T \sim 130^\circ\text{C}$ . Малое количество непрореагировавшего HgI<sub>2</sub> в ампуле после первого нагревания (о чем говорит слабая интенсивность пика при  $T_0 = 134^\circ\text{C}$ ) и сильно возросший тепловой эффект при температуре ФП Cu<sub>2</sub>HgI<sub>4</sub> при следующем нагревании позволяют связать поглощение теплоты в области 70–130°C (заштрихованная область  $Q_0$  под кривой 1) с реакцией образования Cu<sub>2</sub>HgI<sub>4</sub>. Кривая теплоемкости при втором нагревании  $T > T_c$  уже почти совпадает с базовой линией. Отметим, что вид кривой  $C_p(T)$  при  $T > T_c$  в

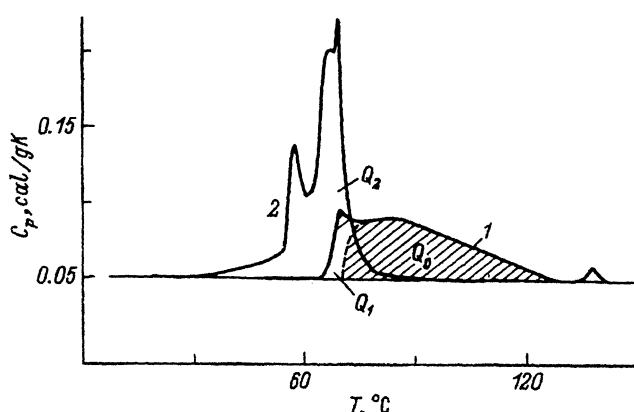


Рис. 2. Температурные зависимости теплоемкости смеси порошков CuI и HgI<sub>2</sub> в пропорции, соответствующей стехиометрии Cu<sub>2</sub>HgI<sub>4</sub>.

1 — первое нагревание, проведенное сразу после смешивания; 2 — следующее нагревание.

первом нагревании свидетельствует также о том, что скорость реакции возрастает с повышением температуры — при постепенном уменьшении массы исходных веществ поглощение теплоты до  $\sim 90^\circ\text{C}$  увеличивается.

Количество образованного в ходе первого нагревания вещества  $m$ , ответственного за указанный тепловой эффект  $Q_0$ , определяется из разности площадей под кривыми в области ФП тройного соединения и значения удельной энталпии перехода  $\Delta H$ . Его мы определили из кривой  $C_p(T)$  готового стехиометрического порошка  $\text{Cu}_2\text{HgI}_4$ , оно оказалось равным  $\Delta H = 2.28 \text{ cal/g}$ . Тогда для энергии образования  $\text{Cu}_2\text{HgI}_4$  в ходе ТФХР между  $\text{CuI}$  и  $\text{HgI}_2$  получаем

$$A = Q_0/m = Q_0\Delta H/(Q_2 - Q_1) = 2.2 \text{ cal/g (7.5 kJ/mol).}$$

Аналогичным образом оценивалась энергия образования  $\text{Ag}_2\text{HgI}_4$  из  $\text{AgI}$  и  $\text{HgI}_2$  из кривых  $C_p(T)$  для двух следовавших одно за другим нагреваний смеси порошков  $\text{AgI}$  и  $\text{HgI}_2$  (рис. 3). Первое нагревание проводилось только до  $94^\circ\text{C}$ . В отличие от предыдущего случая здесь и после второго нагревания реакция образования тройного соединения не завершена. Об этом говорят намечающийся большой эффект при температуре ФП  $\text{HgI}_2$  и отклонение кривой при  $T > T_c$  от базовой линии. Значение энталпии перехода для  $\text{Ag}_2\text{HgI}_4$  определено нами ранее [9], оно составляет  $\Delta H = 1.96 \text{ cal/g}$ . Для теплоты реакции образования  $\text{Ag}_2\text{HgI}_4$  получаем  $A = 1.4 \text{ cal/g (5.5 kJ/mol)}$ . Полученные значения  $A$ , вероятно, занижены, так как мы не учитывали а) возможного вклада в тепловой эффект теплоты образования тройного соединения при температуре ФП и б) инерционности калориметра, в результате которой система после прекращения нагревания не сразу входила в режим охлаждения.

Отметим, что полученное нами экспериментальное значение  $A$  для  $\text{Ag}_2\text{HgI}_4$  близко к теоретической оценке  $6 \text{ kJ/mol}$ , данной в [5].

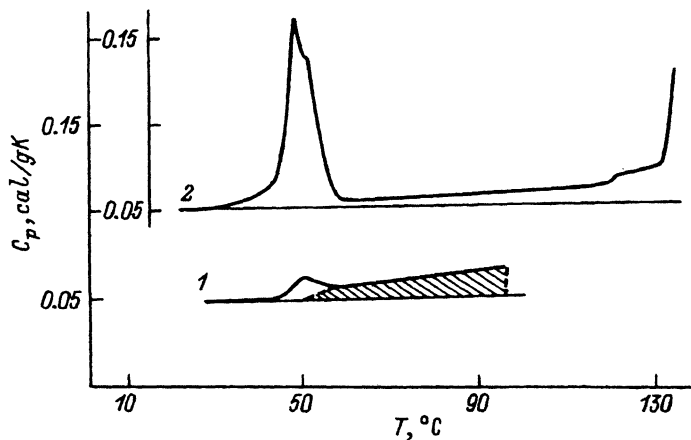


Рис. 3. Температурные зависимости теплоемкости смеси порошков  $\text{AgI}$  и  $\text{HgI}_2$ . 1 — первое нагревание, 2 — второе нагревание сразу после окончания первого термоцикла.

### 3. Фазовые переходы в $\text{Ag}_2\text{HgI}_4$ и $\text{Cu}_2\text{HgI}_4$

Ранее [8,9] нами было показано, что кривые избыточной теплоемкости  $\text{Ag}_2\text{HgI}_4$  и  $\text{Cu}_2\text{HgI}_4$  в температурной области суперионного перехода для монокристаллов и стехиометрических порошков имеет, как правило, один максимум с началом отклонения от базовой линии при  $T = 52^\circ\text{C}$  (в  $\text{Ag}_2\text{HgI}_4$ ) и  $T = 70^\circ\text{C}$  (в  $\text{Cu}_2\text{HgI}_4$ ). Теплоемкость же образцов неоднородного состава, содержащих включения кристаллических фаз соответствующих бинарных веществ ( $\text{AgI}$  и  $\text{HgI}_2$  или  $\text{CuI}$  и  $\text{HgI}_2$ ), имела в температурной области ФП дублетную структуру — присутствовал дополнительный низкотемпературный максимум ( $T_c = 46^\circ\text{C}$  в  $\text{Ag}_2\text{HgI}_4$  и  $T_c = 65^\circ\text{C}$  в  $\text{Cu}_2\text{HgI}_4$ ). К таким образцам относилось и большинство кристаллов, полученных в результате ТФХР.

Те же значения температур ФП ( $46$  и  $52^\circ\text{C}$ ) были зарегистрированы и в настоящей работе в системах взаимодействующих монокристаллов  $\text{AgI}$  и  $\text{HgI}_2$ . Однако при изучении ТФХР в порошковых смесях наблюдалась более сложная картина. Обнаружено, что при первом нагревании смесей на кривых теплоемкости в области ФП  $\text{Ag}_2\text{HgI}_4$ , как правило, фиксируется один максимум, соответствующий  $T_c = 46^\circ\text{C}$  (рис. 4, кривая 1). В некоторых случаях, когда до первого нагревания имел место продолжительный синтез при  $T < T_c$ , проявлялся и высокотемпературный максимум ( $T_c = 52^\circ\text{C}$ ). Заметим, что в спектрах люминесценции кристалла  $\text{Ag}_2\text{HgI}_4$ , взятого из этих смесей, появлению интенсивной высокотемпературной компоненты структуры теплоемкости соответствовал переход от размытой структуры типа 2 к структуре типа 3 (рис. 1). При втором нагревании, следующем непосредственно за первым циклом, одновременно с увеличением теплового эффекта, что отражает увеличение массы  $\text{Ag}_2\text{HgI}_4$ , наблюдается изменение

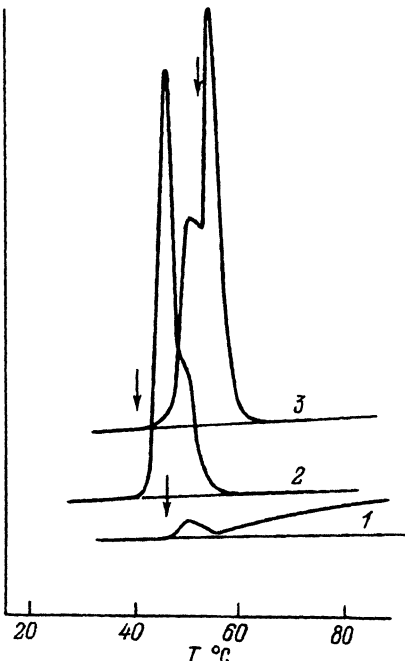


Рис. 4. Температурные зависимости теплоемкости смеси порошков  $\text{AgI}$  и  $\text{HgI}_2$ .

1 — первое нагревание, 2 — второе нагревание, 3 — третье нагревание после хранения ампулы в течение двух недель при комнатной температуре. Стрелками отмечены возможные значения температуры ФП в  $\text{Ag}_2\text{HgI}_4$  ( $40$ ,  $46$  и  $52^\circ\text{C}$ ).

структурой кривой — основное количество вещества теперь переходит в  $\alpha$ -фазу при меньших температурах ( $T_c = 40^\circ\text{C}$ ; рис. 4, кривая 2). Очевидно, она описывает особенности ФП вещества, образованного в основном при температуре выше  $T_c$  в ходе первого нагревания, т.е. в виде  $\alpha$ -фазы, а затем охлаждением переведенного в  $\beta$ -модификацию. Следующие нагревания (и в том случае, когда реакция уже завершена и масса продукта не меняется), если они следуют сразу за ( $\alpha \rightarrow \beta$ )-ФП, показывают либо двойную структуру с  $T_c$  равными 46 и  $40^\circ\text{C}$  (соотношение компонент, как правило, не сохраняется), либо один максимум с  $T_c = 40^\circ\text{C}$ . И только выдерживание образца при  $T < 40^\circ\text{C}$  в течение длительного времени перед нагреванием приводит к изменению структуры  $C_p(T)$ , соответствующему увеличению доли совершенного продукта реакции (рис. 4, кривая 3).

В [8] обсуждалась природа низкотемпературных максимумов в  $C_p(T)$  в кристалле  $\text{Ag}_2\text{HgI}_4$ , образованном в результате ТФХР между монокристаллами. С учетом особенностей фазовой диаграммы  $\text{Ag}_2\text{HgI}_4$  понижение температуры ФП до  $46^\circ\text{C}$  связывалось с процессами, возникающими на границах кристаллических фаз (тройного соединения, с одной стороны, и  $\text{AgI}$  или  $\text{HgI}_2$  — с другой). В настоящее время для иодистого серебра хорошо известно (см., например, [10]) понижение температуры суперионного ФП при дисперсии в нем второй кристаллической фазы. Данные, полученные в настоящей работе, могут свидетельствовать о том, что образование двухфазной системы в процессе синтеза  $\text{Ag}_2\text{HgI}_4$  в результате ионной диффузии при  $T < T_c$  понижает температуру ФП до  $46^\circ\text{C}$ . Если же  $\text{Ag}_2\text{HgI}_4$  образуется при  $T > T_c$ , температура ФП в суперионную модификацию сразу после перевода его в  $\beta$ -фазу может понижаться до  $40^\circ\text{C}$ , что может быть обусловлено увеличением концентрации второй кристаллической фазы, изменением степени дисперсности ее. Заметим, что прохождение через ( $\alpha \rightarrow \beta$ )-ФП даже однородного  $\alpha$ - $\text{Ag}_2\text{HgI}_4$  (не содержащего ни  $\text{AgI}$ , ни  $\text{HgI}_2$ ) может сопровождаться выделением второй кристаллической фазы. Это связано с тем, что область допустимых отклонений от стехиометрии, за которыми образцы перестают быть гомогенными, для  $\beta$ -фазы много уже, чем для  $\alpha$ -фазы [11]. Естественно ожидать, что прохождение через ( $\alpha \rightarrow \beta$ )-ФП соединения, образованного в  $\alpha$ -фазе, вероятно, с большим количеством собственных дефектов и к тому же, как правило, находящегося в контакте с непрореагировавшими исходными солями, приводит к еще большей картине неоднородности и, как следствие, к большему понижению  $T_c$ . Последующий изотермический процесс ионной диффузии, мы думаем, приводит к более равновесному состоянию системы, о чем и свидетельствует сильная зависимость вида термограмм от продолжительности хранения образцов при  $T < T_c$  до начала нагревания (рис. 4, кривая 3).

Следует подчеркнуть, что дополнительные низкотемпературные максимумы в  $C_p(T)$  не связаны с присутствием какой-либо иной, отличной от  $\beta$ -фазы низкотемпературной модификации  $\text{Ag}_2\text{HgI}_4$  (такая возможность обсуждалась в [12]), переходящей в  $\alpha$ -фазу при более низкой температуре. Оптические спектры соединений, имеющих ФП при 40, 46 и  $52^\circ\text{C}$ , указывают на идентичность их электронной структуры, обнаруживая лишь разную степень структурного беспорядка.

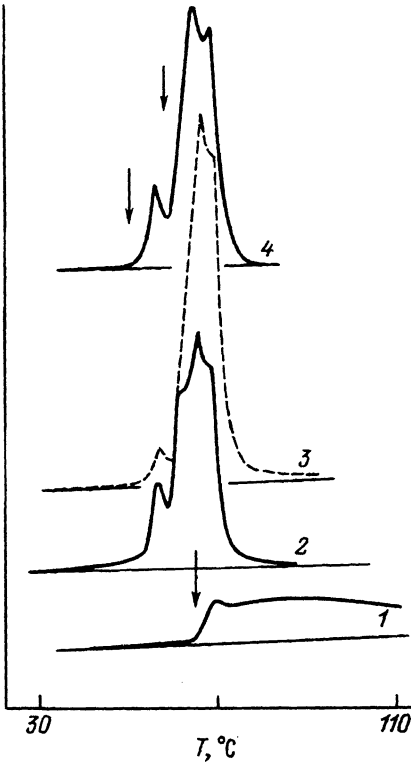


Рис. 5. Температурные зависимости теплоемкости смеси порошков  $\text{CuI}$  и  $\text{HgI}_2$ .  
 1 — первое нагревание, 2 — второе нагревание сразу после окончания первого термоцикла, 3 — третье нагревание после выдерживания ампулы при комнатной температуре в течение двух дней, 4 — четвертое нагревание сразу после окончания третьего термоцикла. Стрелками отмечены возможные значения температуры ФП в  $\text{Cu}_2\text{HgI}_4$ .

Еще более сложная структура кривых теплоемкости в области ФП обнаружена в  $\text{Cu}_2\text{HgI}_4$  (рис. 5). Наличие дополнительных компонент может говорить либо о большей чувствительности  $T_c$  в  $\text{Cu}_2\text{HgI}_4$  к параметрам многофазной системы (к размерам включений второй фазы, к напряжениям, вызываемым ими, и т.д.), либо о более сложной по сравнению с  $\text{Ag}_2\text{HgI}_4$  самой картине неоднородностей, возникающей в образцах из системы  $\text{CuI}-\text{Cu}_2\text{HgI}_4-\text{HgI}_2$ . Последнее может быть связано с обнаруженной нами большей скоростью ионной диффузии в системе  $\text{CuI}-\text{HgI}_2$  по сравнению с  $\text{AgI}-\text{HgI}_2$ .

#### 4. Фазовые переходы в $\text{AgI}$ и $\text{HgI}_2$

При анализе термограмм систем  $\text{AgI}-\text{Ag}_2\text{HgI}_4-\text{HgI}_2$  было установлено, что температуры ФП бинарных соединений, входящих в них, могут сильно отличаться от известных значений температур для монокристаллов ( $T_c = 147^\circ\text{C}$  в  $\text{AgI}$  и  $T_c = 134^\circ\text{C}$  в  $\text{HgI}_2$ ).

На рис. 6 даны термограммы порошковых смесей различных составов в области фазовых переходов бинарных компонент системы, а на рис. 7, 8 — температурные зависимости теплоемкости образцов из различных частей двух систем, образованных в результате ТФХР между монокристаллами. Кривые на рис. 6 приведены к одному тепловому эффекту в области ФП образовавшегося тройного соединения; масштабы кривых на рис. 7 приведены к одной интенсивности высокотемпературной компоненты структуры  $C_p(T)$  в области ФП  $\text{Ag}_2\text{HgI}_4$ . Видно, что

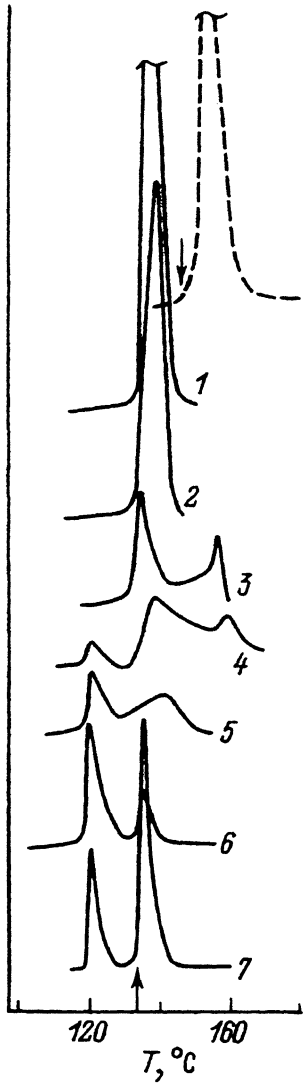


Рис. 6. Температурные зависимости теплоемкости смеси порошков  $\text{AgI}$  и  $\text{HgI}_2$  различных составов.

1 —  $(\text{AgI})_{14}(\text{HgI}_2)_1$ , 2 —  $(\text{AgI})_5(\text{HgI}_2)_1$ , 3 —  $(\text{AgI})_3(\text{HgI}_2)_1$ ,  
4 —  $(\text{AgI})_2(\text{HgI}_2)_1$ , 5 —  $(\text{AgI})_1(\text{HgI}_2)_1$ , 6 —  $(\text{AgI})_1(\text{HgI}_2)_2$ ,  
7 —  $(\text{AgI})_1(\text{HgI}_2)_7$ . Стрелками указаны температуры ФП в изолированных монокристаллах  $\text{AgI}$  ( $147^\circ\text{C}$ ) и  $\text{HgI}_2$  ( $134^\circ\text{C}$ ).

переход в суперионную модификацию при  $T_c = 147^\circ\text{C}$  в иодистом серебре наблюдается только в образцах из удаленных от контакта частей систем (кривые 1 на рис. 7, 8) и в чистом порошке (рис. 6, пунктирная кривая). Оказалось, что контакт с  $\text{HgI}_2$  в смесях с мольным отношением  $\text{HgI}_2/\text{AgI} = 1/14$  и более инициирует ФП в  $\alpha$ -фазу в иодистом серебре при температуре фазового перехода  $\text{HgI}_2$  (кривые 1, 2 на рис. 6). Проведенные параллельно спектроскопические исследования показали, что в низкотемпературных спектрах люминесценции и отражения смесей, соответствующих кривым 1, 2 на рис. 6, доминирующей является структура, принадлежащая иодистому серебру. Кроме того, в спектрах присутствует относительно слабая структура  $\text{Ag}_2\text{HgI}_4$  и полностью отсутствует структура  $\text{HgI}_2$ .



Рис. 7. Температурные зависимости теплоемкости образцов из различных мест системы, образованной в ходе ТФХР между монокристаллами  $\text{AgI}$  и  $\text{HgI}_2$  (температура реакции  $110^\circ\text{C}$ , продолжительность реакции 40 min).

На схеме обозначено положение образцов в системе. Стрелками обозначены температуры ФП в образовавшемся в ходе ТФХР  $\text{Ag}_2\text{HgI}_4$  ( $46$  и  $52^\circ\text{C}$ ) и температуры ФП в изолированных монокристаллах  $\text{AgI}$  ( $147^\circ\text{C}$ ) и  $\text{HgI}_2$  ( $134^\circ\text{C}$ ).

На калориметрических записях, относящихся к ампулам, в которых порошки  $\text{AgI}$  и  $\text{HgI}_2$  не перемешивались, также удается наблюдать смещение точки ФП для части порошка  $\text{AgI}$ , по-видимому, той, что находилась вблизи границы раздела. На рис. 9 представлены кривые  $C_p(T)$  трех нагреваний одной из таких ампул. Отчетливо видно, что по мере протекания ТФХР параллельно с возникновением и увеличением особенностей  $C_p$ , связанных с образованием  $\text{Ag}_2\text{HgI}_4$ , меняется соотношение интенсивностей максимумов, отвечающих переходам при  $134$  и  $147^\circ\text{C}$ . Постепенное увеличение теплового эффекта в области первого максимума при неизбежном вследствие образования тройного соединения уменьшении количества двуиодистой ртути горорит о том, что часть  $\text{AgI}$  переходит в  $\alpha$ -фазу при температуре ФП  $\text{HgI}_2$  и вносит вклад в поглощение тепла при  $134^\circ\text{C}$ . Остальное иодистое серебро показывает ФП при более высоких температурах, в основном при  $T_c = 147^\circ\text{C}$ .

В монокристаллических системах (рис. 7, 8) также наблюдается сложная неоднородная картина. Мы не видим явного инициирования перехода иодистого серебра в суперионное состояние при температуре ФП  $\text{HgI}_2$ , однако анализ изменений кривых  $C_p(T)$  в различных местах образованных систем и сопоставление их со спектроскопическими данными о составе образцов позволяют заключить, что в сложной структуре теплоемкости при  $T \geq 134^\circ\text{C}$  образцов из многофазных областей (рис. 7, кривая 2 и рис. 8, кривые 2-4) могут проявляться 1) фазовый переход присутствующего в малом количестве  $\text{HgI}_2$  ( $T_0 = 134^\circ\text{C}$ ); 2) инициированный при  $T_0 = 134^\circ\text{C}$  ФП определенной части  $\text{AgI}$ ; 3) плавное понижение температуры ФП иодистого серебра.

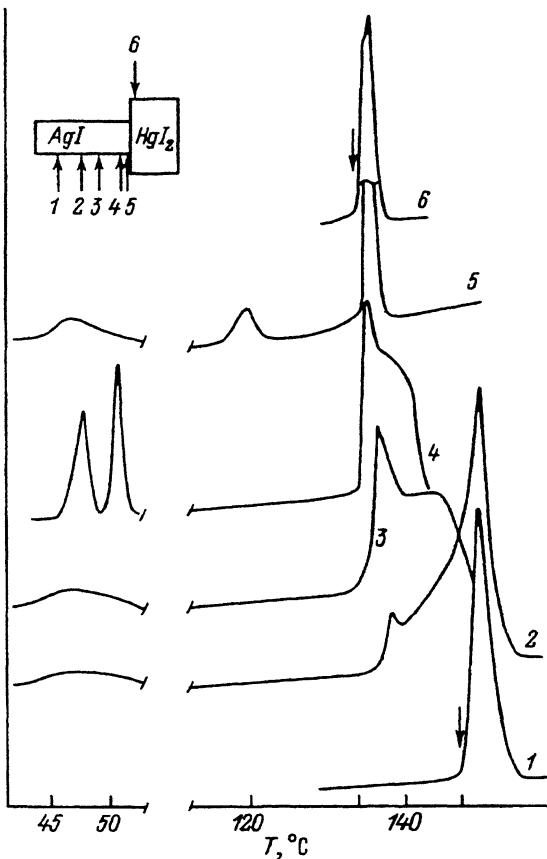


Рис. 8. Температурные зависимости теплоемкости образцов из различных мест системы, образованной в результате ТФХР между монокристаллами  $\text{AgI}$  и  $\text{HgI}_2$  (температура реакции  $90^\circ\text{C}$ , продолжительность реакции 60 min).

На схеме обозначено положение образцов в системе. Стрелками отмечены температуры ФП в изолированных монокристаллах  $\text{AgI}$  ( $147^\circ\text{C}$ ) и  $\text{HgI}_2$  ( $134^\circ\text{C}$ ).

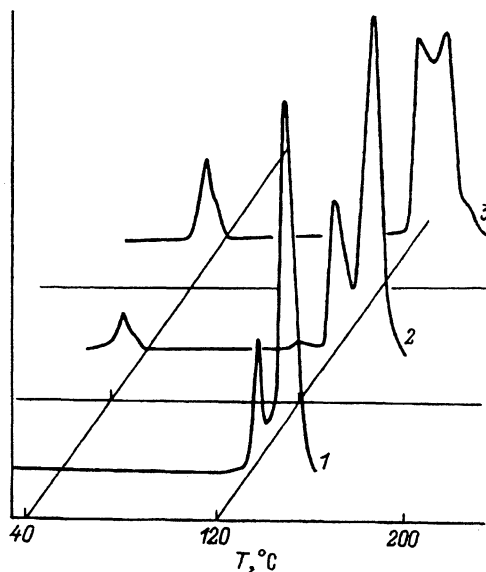


Рис. 9. Температурные зависимости теплоемкости порошков  $\text{AgI}$  и  $\text{HgI}_2$  (без перемешивания).

1 — первое нагревание, 2 — второе нагревание, 3 — третье нагревание. Время между вторым и третьим нагреваниями 2 года.

бра при увеличении концентрации дефектов, объясняющее структуру  $C_p(T)$  в области температур  $134^\circ\text{C} < T < 147^\circ\text{C}$ ; 4) ФП в иодистом серебре вне «зоны реакций» при  $T_c = 147^\circ\text{C}$ .

В термограммах образцов, основную массу которых составляет образовавшееся тройное соединение (рис. 6, кривые 3, 4 и рис. 7, 9, кривые 3), была обнаружена небольшая особенность (начало отклонения от базовой линии  $157^\circ\text{C}$ , положение максимума  $\sim 162^\circ\text{C}$ ), которую мы также связываем с ФП иодистого серебра в  $\alpha$ -модификацию. Можно предположить, что она обусловлена ФП  $\text{AgI}$ , образованного в матрице тройного соединения (возможно, выделившегося в результате нарушения стехиометрии состава продукта реакции). ФП этой части иодистого серебра при более высокой температуре может происходить за счет малых размеров кристаллитов [13] и из-за более однородной структуры их. Согласно [14], в кристаллах  $\text{AgI}$ , в которых отсутствуют включения  $\gamma$ -фазы и другие кристаллические дефекты, служащие зародышами высокотемпературной  $\alpha$ -модификации, ( $\beta \rightarrow \alpha$ )-ФП происходит при  $T_c = 162^\circ\text{C}$ .

Что касается ФП двуиодистой ртути, то известно [15], что кристаллы нестехиометрического состава переходят в высокотемпературную  $\beta$ -модификацию при температурах ниже  $134^\circ\text{C}$ , в то время как для кристаллов с примесями характерны более высокие  $T_0$  по сравнению с легированными образцами. Ожидаемые величины этих эффектов 1–3 градуса. Кроме того, в кристаллах  $\text{HgI}_2$  обнаружены значительные смещения границы фаз, связанные с процессами переохлаждения, сильно зависящие от размеров кристаллитов [16]. Описанные выше сильные тепловые эффекты, вызванные инициированием ФП иодистого серебра при температуре ФП  $\text{HgI}_2$ , помешали нам с уверенностью проследить за возможными особенностями перехода в  $\beta$ -фазу двуиодистой ртути в изученных системах, хотя все указанные факторы влияния на ФП могли бы в них проявиться.

## 5. Тройное соединение $\text{AgHgI}_3$

На кривых  $C_p(T)$  порошковых смесей некоторых составов и сколов монокристаллических систем  $\text{AgI}-\text{Ag}_2\text{HgI}_4-\text{AgI}_2$  наблюдалась структура при  $T = 120^\circ\text{C}$  чаще всего в виде эндотермического максимума, иногда в виде ступеньки. Эта структура присутствует в порошках стехиометрического состава (рис. 6, кривая 4), но сильнее проявляется на термограммах смесей с избытком двуиодистой ртути (рис. 6, кривые 5–7). В смесях с избыточным содержанием  $\text{AgI}$  она всегда отсутствует. При анализе сколов системы монокристаллов обнаружено, что максимум  $C_p(T)$  при  $120^\circ\text{C}$  присутствует в образцах, примыкающих к кристаллу  $\text{HgI}_2$  (рис. 7, кривая 4 и рис. 8, кривая 5). Мы полагаем, что эта особенность в теплоемкости связана с образованием в системах с избыточным содержанием ртути тройного соединения  $\text{AgHgI}_3$ . О существовании промежуточного тройного соединения в фазовой диаграмме системы  $\text{AgI}-\text{HgI}_2$  сообщалось в [17].

Полученных нами данных недостаточно для определения конкретной природы особенности  $C_p$  при  $120^\circ\text{C}$ , однако результаты по зависимости интенсивности структуры от термической предыстории системы

не подтверждают пока предположения [17] о том, что здесь имеет место переход  $\text{Ag}_2\text{HgI}_4 \rightarrow \text{AgHgI}_3$ .

В заключение авторы выражают благодарность И.В.Сочава за помощь в проведении калориметрических измерений и полезные консультации.

Работа выполнена при финансовой поддержке Российского фонда фундаментальных исследований (проект 94-02-06415-а).

### Список литературы

- [1] Wagner G. // Z. Phys. Chem. 1936. V. B34. N 3/4. P. 309-316.
- [2] Koch F., Wagner G. // Z. Phys. Chemie. 1936. V. B34. N 3/4. P. 317-321.
- [3] Васильковская Е.А. / Автореф. канд. дис. Свердловск, 1980. 18 с.
- [4] Акопян И.Х., Новиков Б.В. // ФТТ. 1980. Т. 22. № 2. С. 590-592.
- [5] Leute V., Schröder B. // J. Phys. Chem. Sol. 1981. V. 42. N 9. P. 837-842.
- [6] Акопян И.Х., Воробьева Т.А. // Вестник ЛГУ. Сер. 4. 1991. № 1. С. 19-26.
- [7] Tamberg T. // J. Inorg. Nucl. Chem. 1969. V. 31. P. 377-389.
- [8] Акопян И.Х., Новиков Б.В. // ФТТ. 1984. Т. 26. № 7. С. 1994-1999.
- [9] Акопян И.Х., Новиков Б.В. // ФТТ. 1982. Т. 24. № 2. С. 591-594.
- [10] Zhao Zong-yuan, Wong Chao-ying, Dai Son-yu, Chen Li-quan // Solid State Ionics. 1983. V. 9/10. N 2. P. 1175-1178.
- [11] Leute V., Rusche H. // J. Phys. Chem. Sol. 1981. V. 42. N 4. P. 303-307.
- [12] Browall K.W., Kasper S., Wiedermeier H. // J. Sol. St. Chem. 1974. V. 10. N 1. P. 20-28.
- [13] Martinie B., Troccaz M., Clandy P., Letoffe J. // J. Phys. Chem. Sol. 1987. V. 48. N 10. P. 943-946.
- [14] Maskasky J.E. // Phys. Rev. B. 1991. V. 43. N 7. P. 5769-5772.
- [15] Nicolau Y.F., Dupuy M., Kabsch Z. // Nucl. Instr. Meth. 1989. V. A283. N 1. P. 149-166.
- [16] Newkirk J.B. // Acta Met. 1956. V. 4. N 3. P. 316-330.
- [17] Otsuto Y., Nitta A., Kaneko M., Iwatsubo Y., Ueki A. // Kogyo Kagaku Zasshi, 1966. V. 69. P. 1716-1721.

С.-Петербургский  
государственный университет

Поступило в Редакцию  
25 октября 1993 г.